

دراسة مقارنة بين تقنية ميلارد - التدويرية التقديمية - وتعديل أسينسيو في الإصلاح الأولي لشق الشفة أحادي الجانب

*أ.د. عبد الكريم خليل *

(الإيداع: 27 شباط 2020 ، القبول: 9 آيلول 2020)

الملخص :

لا تزال مشكلة شقوق الشفة مسألة ملحة في جراحة الفم والوجه والفكين الترميمية التجميلية لعدم وجود طريقة مثالية تنهي كل المشاكل القائمة مع هذه الشقوق من حيث التناظر ، و إعادة تأهيل المريض من الناحية النفسية و انخراطه بالمجتمع والوظيفة.

هدف هذا البحث إلى تقييم نتائج التناظر الشفوي و الأنفي بعد الإصلاح الأولي لشق الشفة أحادي الجانب لدى اتباع تقنية ميلارد وتعديل أسينسيو.

تألفت عينة البحث من 20 حالة تعاني من شق شفة أحادي الجانب (كامل وغير كامل) ، وقد تراوحت أعمارهم بين 6-3 أشهر .

قسمت العينة الى مجموعتين رئيسيتين :

مجموعة أولى تتألف من عشر حالات طبقت عليها تقنية ميلارد أثناء الإصلاح الأولي ، ومجموعة ثانية تتألف كذلك من عشر حالات طبقت عليها تقنية أسينسيو .

روقت الحالات بعد 15 يوم و 6 أشهر من العمل الجراحي لتقييم التناظر الشفوي و الأنفي عن طريق الصور الفوتوغرافية السريرية فقط .

لم تبد المتوسطات الحسابية لكافة المتغيرات المدروسة لكلا الطريقتين المتبعتين بعد 15 يوماً من العمل الجراحي أي فروق إحصائية نظراً لكون مستوى الدلالة أكبر من 0.05 بينما

أبدت هذه المتوسطات تغيرات محسوبة بعد 6 أشهر من العمل الجراحي لصالح طريقة أسينسيو بالنسبة للتناظر الشفوي و الأنفي ولذلك ينصح باللجوء الى هذه الطريقة لإصلاح شقوق الشفة أحادية الجانب الكاملة وغير الكاملة كبديل عن تقنية ميلارد .

الكلمات المفتاحية : شق الشفة أحادي الجانب - طريقة ميلارد - طريقة أسينسيو - الإصلاح الجراحي .

*طالب ماجستير - قسم جراحة الفم والوجه والفكين في كلية طب الأسنان - جامعة تشرين

*أستاذ دكتور في قسم جراحة الفم والوجه والفكين - كلية طب الأسنان - جامعة تشرين

A comparative study between Millard technique and the modification of Asensio in primary repair of unilateral cleftlip .

Ahd Ahmad ALmakhlof*

Prof. Dr. Abdulkarim Khalil**

(Received: 27 February 2020 , Accepted: 9 September 2020)

Abstract:

The problem of cleftlip remains an urgent issue in plastic reconstructive oral and maxillofacial surgery because there is no ideal way to end all existing problems with these clefts in terms of symmetry, psychological , rehabilitation of the patient and his involvement in society and function.

The aim of this research was to evaluate the results of oral and nasal symmetry after the primary repair of unilateral cleftlip when following the Millard technique and the modification of Asensio .

The research sample consisted of 20 cases suffering from unilateral cleftlip (complete and incomplete) , and their ages ranged between 3–6 months .

The sample was divided into two main groups : A first group consisting of 10 cases , on which Millard technique was applied during the primary repair , and a second group consisting of 10 cases on which the Asensio technique was applied .

Cases were observed after 15 days and 6 months of surgery to assess oral and nasal symmetry by clinical photographs only .

Arithmetic averages for all studied variables for both methods followed after 15 days of surgery did not show any statistical differences due to the level of significance is greater than 0,05 .

While ... These averages showed calculated changes after 6 months of surgery in favor of the Asensio method for oral and nasal symmetry and therefor it is advised to use this method to repair complete and incomplete unilateral cleftlip as an alternative to Millard technique .

Key words: unilateral cleftlip – Millard technique – Asensio technique – Surgical repair .

*Master degree in oral and maxillofacial surgery– Tishreen university

**Prof in the faculty of dentistry . oral and maxillofacial surgery . tishreen university

1-المقدمة : Introduction

شق الشفة Cleft Lip هو عبارة عن تشوهٍ ولادي على شكل أخدودٍ أو شقٍ في الشفة مع أو بدون شقٍ في قبة الحنك الصلبة أو الرخوة أو كليهما. يعتبر شق الشفة أحادي الجانب التشوه الخلقي الثاني الأكثر شيوعاً (بعد جنف القدم) حيث يشكل حوالي 13 % من كل الشذوذات الخلقية ؛ حيث يبلغ الحدوث الكلي لشق الشفة مع أو بدون شق الحنك 1 من 750 من المولودين الأحياء تقريباً ، وحدوث شق الشفة أحادي الجانب أكثر بسبعين مراتٍ من شق الشفة ثانوي الجانب ويعادل حدوثه في الجانب الأيسر ضعفي حدوثه في الجانب الأيمن [1].

توجد العديد من التقنيات الجراحية لإصلاح شق الشفة أحادي الجانب وكل منها ميزاتها وخصائصها وسيئاتها ، ولا يوجد إجماع حتى الآن على أفضلية إحداها على الأخرى ، والطريقة المفضلة هي التي تحقق التصحيح الأمثل للتركيب التشريحية في تلك المنطقة بما يؤمن التواهي التجميلية والوظيفية للشفة والألف.

إن المبدأ الأساسي في جراحة شقوق الشفة هو إعادة العلاقة التشريحية الطبيعية والخصائص الوظيفية للشفة العلوية في كل من حالي الراحة والحركة. بإعادة العلاقة التشريحية الطبيعية تشمل الحصول على ترميم جيد ومقبول للنثرة مع تجاش وتمادي قوس كوبيد ، استمرارية في حافة الشفة الحمراء ، وكل ذلك يجب أن يترافق مع تحقيق تناظر الشفة العلوية [2,3]. في طبعة الطرائق المستخدمة لإصلاح هذه التشوهات طريقة الإصلاح التقيمي - التدويري (تقنية ميلارد Millard) ، وكانت هذه التقنية مرتكزاً ومحوراً من قبل العديد من الجراحين بحيث أصبحت أكثر الطرائق شيوعاً في العالم اليوم [5] . ثم أدخل العديد من التعديلات على هذه التقنية ، لإصلاح العيوب الملاحظة . ومن هذه العيوب عدم القدرة على تطبيقها في الشقوق الواسعة ، ومحدوية القطعة المتوسطة التدويرية ، وارتفاع الشفة الحمراء غير الكافي ، ونقص جمالية عمود النثرة [6,7].

ومن التعديلات الجديرة بالذكر تقنية أسينسيو حيث استخدم مبادئ ميلارد لتطوير تقنيته الخاصة حيث أضاف عليها تعديلات من أجل تحقيق تدوير إضافي وخلق ندبة باهتة (غير واضحة) بحيث تمثل صورةً مطابقةً (انعكاساً) لعمود النثرة في الجهة المقابلة (السليمة) .

ومهما كان الجراح بارعاً لا بد أن يترك مبضعه ندبةً الأمر الذي يدفع للبحث دوماً عن طريقة التصحيح الجراحي الأفضل والأمثل و التي تؤدي إلى ترك ندبة أنسنة لنمو وتطور الوجه .

2-هدف البحث :

هدف هذا البحث إلى تقييم تناظر العناصر المضطربة للجهة المشقوقة مع نظيرتها السليمة وتناظر فتحي الأنف مع دعم أجنحته وارتفاع جلد الشفة الكافي واستمرارية الحافة القرمزية لدى تطبيق تقنيتي ميلارد وأسينسيو في الإصلاح الأولي لشقوق الشفة أحادية الجانب وبيان أيهما الأفضل .

3-مواد و طرائق البحث :**العينة :**

تألفت عينة البحث من 20 حالة بعمر 3-6 أشهر ، مع شق شفة أحادي الجانب (كامل وغير كامل) ، تم تطبيق تقنية ميلارد على 10 مرضى من العينة ، وتطبيق تقنية أسينسيو على بقية العينة .
تضمنت المراقبة السريريةأخذ صور فوتوغرافية للمرضى لتقدير التناظر الأنفي والشفوي بعد 15 يوماً و 6 أشهر من العمل الجراحي .

معايير الادخال :

- مرضى مصابين بشق شفة أحدى الجانب كامل وغير كامل ، متراافق أو غير متراافق مع شق قبة الحنك الصلبة أو الرخوة أو كليهما أو شق الارتفاع السنخي .
- عدم وجود مضاد استطباب للعمل الجراحي تحت التخدير العام لدى مرضى العينة .

معايير الاستبعاد :

- المرضى المصابين بشق شفة ثانى الجانب
- المرضى المصابين بشق شفة متراافق مع التذارات .

مكان إجراء البحث :

أجرى العمل الجراحي لكافة الحالات التي شملها البحث في غرفة العمليات التابعة لشعبة جراحة الفم والوجه والفكين في مشفى تشرين الجامعي باللاذقية .

أدوات و مواد العمل الجراحي : Materials

الأدوات الجراحية الخاصة التي أُستخدمت في التصحيح الجراحي الأولي لشقة المشقوقة هي :

- 1- قلم تعليم عمق لتعليم الجلد من أجل تحديد نقاط العلام .
- 2- مسطرة سنتيمترية معقمة مع فرجار لنقل القياسات .
- 3- حامل مشرط وشفرات جراحية رقم 15 .
- 4- مخالب جلدية skin Hooks
- 5- ملاقط مرقة ، حامل إبر ، خيوط جراحية (فكرييل 4:0 لخياطة العضلات والأغشية المخاطية ، نايلون 5:0 لخياطة الجلد)



الشكل رقم (1): الأدوات الجراحية المستخدمة في التصحيح الجراحي لشق الشفة

التصوير الشمسي : photography

تسمح الصور الشميسية الواضحة والقياسية المأخوذة قبل العمل الجراحي وبعده ضمن فترات زمنية مختلفة متابعة بالتوثيق والتقييم الدقيق لكل المعالجة الجراحية ونتائجها ، فالصور الشميسية الطبية تُظهر الحقيقة مجردةً كما هي بدقةٍ وبدون تلاعب ، و تؤخذ ضمن نفس الشروط من حيث طريقة التصوير والمصور والكاميرا المستخدمة .

طريقة التصوير : تم اتباع نفس البروتوكول في تصوير كل المرضى مع الحد قدر الإمكان من معظم المتغيرات ، حيث تم إبقاء الإضاءة وفتحة العدسة والمسافة بين آلة التصوير وجه المريض نفسها في كل الصور المأخوذة . حيث يوضع الطفل في وضعية الاستلقاء بحيث يكون الخط الوهمي المار من الحافة العلوية لمجرى السمع الظاهر إلى الحافة تحت الحاج (مستوى فرانكفورت) عموديا على الأفق . وقد تم استغلال فترات نوم الطفل لأخذ الصور الشميسية بالوضعية الأمامية والوضعية الأنفية الجبهية ، لتكون الشفاه بوضعية الراحة .

3- طرائق البحث : Methods**بروتوكول العمل الجراحي :**

أنجز العمل الجراحي تحت التخدير العام بعد التأكد من صيام الطفل لمدة أربع ساعاتٍ على الأقل قبل بدء التخدير . وذلك باستخدام التبييب الرغامي عبر الفم مع تثبيت الأنابيب داخل الرغامي بشكل مركزي فوق الشفة السفلية حتى لا يشوه هذا الأنابيب زاويتي فتحة الفم ، أبتدئ بالعمل الجراحي بعد تحضير ساحة العمل الجراحي بشكل كامل وفق المراحل التالية :

- 1- وضعت نقاط العلام الخاصة حسب التقنية التي سوف يتم استخدامها بواسطة قلم معقم (ستنكر لاحقا) .
- 2- أجريت الشفوق الجراحية بشفرة مشرط قياس 15 وفقاً للنقاط المعلمة للحصول على الشريحة التدويرية والشريحة التقديمية.
- 3- سُلّخت العضلة الدويرة الفموية .
- 4- حُرّر جناح الألف في الجهة المشقوقة لتأمين تناظر قدر المستطاع أثناء الخياطة مع الجهة المقابلة السليمة .
- 5- بعد ذلك سُحبت القطعة الشفوية للأسفل بواسطة الصنارات الجلدية لتوضع بالوضع المطلوب الحصول عليه قبل اجراء الخياطة .

6- الخياطة على ثلاث طبقات :

- خياطة المخاطية الفموية بإستخدام خيوط فكرييل (4:0)
- خياطة العضلات بدءاً من منطقة أحمر الشفاه في أسفل الشفة و باتجاه الأعلى باستخدام خيوط فكرييل 4:0
- خياطة الجلد باستخدام خيوط نايلون 0:5 خياطة منقطعة حيث توضع أول قطبة على الجلد أعلى حافة الشفة الحمراء مباشرة بما يتوافق مع قمة قوس كيوبيد إذ يجب التأكد من استمرارية الحافة الحمراء للشفة العلوية في هذه المرحلة قبل إتمام الخياطة .

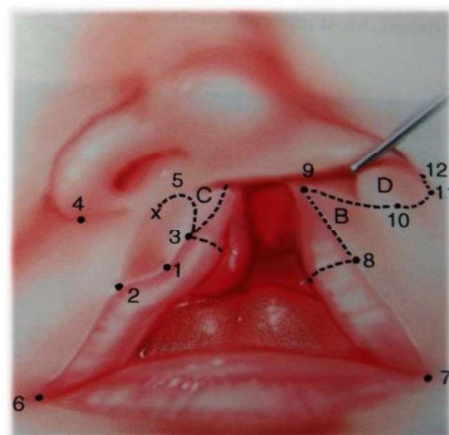
وفيما يلي المبادئ والخطوات الجراحية لكل من طريقة ميلارد وطريقة أسينسيو ..

طريقة ميلارد (التدويرية - التقديمية) :

تقنيّة الشرائح التدويرية - التقديمية الموصوفة من قبل ميلارد هي الأكثر استعمالاً من قبل جراحي شفوق الشفة حول العالم . نقاط العلام الخاصة بالتصحيح الجراحي وفق طريقة الإصلاح التدويري - التقديمي :

- النقطة 1: مركز الشفة العلوية عند حافة الشفة الحمراء (قمة قوس كيوبيد) .

- النقطة 2 : ذروة قوس كيوبيد في الجانب غير المشقوق .
- النقطة 3 : ذروة قوس كيوبيد في الجانب المشقوق حيث تعلم على مسافة متساوية للبعد بين النقطتين 1 و 2 .
- النقطة 4 : تمثل قاعدة جناح الأنف في الجانب غير المشقوق .
- النقطة 5 : تمثل قاعدة العميد .
- النقطة 6 : تمثل زاوية الفم (صوار الفم) في الجانب غير المشقوق .
- النقطة 7 : تمثل زاوية الفم (صوار الفم) في الجانب المشقوق .
- النقطة 8 : نقطة مقابلة للنقطة 3 ، تعلم على القطعة الشفوية الوحشية في المكان الذي يبدأ فيه أحمر الشفاه يستدق باتجاه الأعلى (أعلى نقطة على قوس كيوبيد على القطعة الجانبية) .
- النقطة 9 : تعلم بحيث تبعد عن قاعدة جناح الأنف نفس البعد بين جناح الأنف والعميد في الجانب غير المشقوق (الحد الأنسي لشق الشريحة القديمة) .
- النقطة 10 : قاعدة جناح الأنف في الجانب المشقوق .
- النقطة 11 : النقطة الأكثر وحشية على جناح الأنف في الجانب المشقوق (نقطة تقاطع الطية الأنفية الشفوية مع جناح الأنف) .
- النقطة 12 : الحد الوحشي لشق الشريحة القديمة .



الشكل رقم (2): نقاط العلام الأساسية وخطوط القطع الجراحي الخاصة بتقنية ميلارد

هناك ثلاث مبادئ أساسية يجب الانتباه إليها عند استخدام تقنية ميلارد :

- 1- تدوير حافة الشق للجانب غير المشقوق هو المبدأ الأكثر أهمية للحصول على ارتفاع كافي لحافة الثرة المشقوقة . يُجز تحديد هذا الإرتفاع بالقياس بين قاعدة العميد (النقطة 5) وقمة قوس كيوبيد على الجانب غير المشقوق (النقطة 2) ، تساوي هذه المسافة الطول الكامل للقطع الجراحي المجرى على حافة الشق للقطعة غير المشقوقة من (النقطة 3) حتى قاعدة العميد (النقطة 5) وتشمل الشق الراجع حتى النقطة X مع العلم أنه يمكن استخدام سلك منحنٍ لتأكيد هذه المسافة ، (هذا السلك يستخدم لتمثيل الشق المنحنٍ مع القطع الراجع) .
- و يمكن الحصول على ارتفاع إضافي في منطقة الشق بتعليم شق شريحة اللفافة البيضاوي في منطقة (النقطة 3) للسماح بزيادة دوران قطعة الشفة الحمراء لمسافة 1-2 ملم .

- يمكن أن تستخدم الشريحة C لخلق إصلاح الأنف أو تدخل في الجانب غير المشقوق لزيادة كمية و طول الشريحة التدويرية .

3 - المبدأ الثالث الحاسم في إجراء ميلارد هو تسليخ العضلات وإعادة بنائها، حيث يتم تحديد العضلة الدويرة الفموية و فصلها عن الجلد المغطى والمخاطية الفموية وتحريرها عدة ملمترات داخل العناصر الشفوية لكلا الجانبين داخل الفم ، مع العلم أن إغلاق شق الشفة الواسع يتطلب شق الدهليز الفموي على الجانب المشقوق ، و يمكن في شقوق الشفة الواسعة تمديد الشق عالياً ضمن التجويف الأنفي حتى القرين السفلي.

باختصار يجب أن يتحقق ما يلي :

- المسافة (1_2) = المسافة (1_3)

- المسافة (2_6) = المسافة (7_8)

- الشق (3_5) = الشق (8_9)

- لكس دوران إضافي في الشريحة الدورانية (زيادة طول الشفة) يمكن تمديد الشق من 5 إلى X مسافة 2-1 ملم .

- في نهاية المداخلة يجب أن تلتقي النقطة 9 مع النقطة X في حين تلتقي النقطة 3 مع 8.

تقنية العمل الجراحي :

- باستخدام شفرة قياس 15 نقوم بإجراء شق من النقطة 3 باتجاه النقطة 5 ثم نتابع بإجراء قطع راجع نحو النقطة X بحيث يكون الشكل النهائي لهذا الشق مقوساً و يساير شكل عمود النثرة في الجانب غير المشقوق.

- على القطعة الوحشية .. نقوم بإجراء شق من النقطة 8 حتى النقطة 9 ثم نتابع إلى النقطة 10 ثم 11 .

- لا ننسى أيضاً إجراء خطوط قطع على أحمر الشفاه عند النقطة 3 والنقطة 8 في الجانبين .

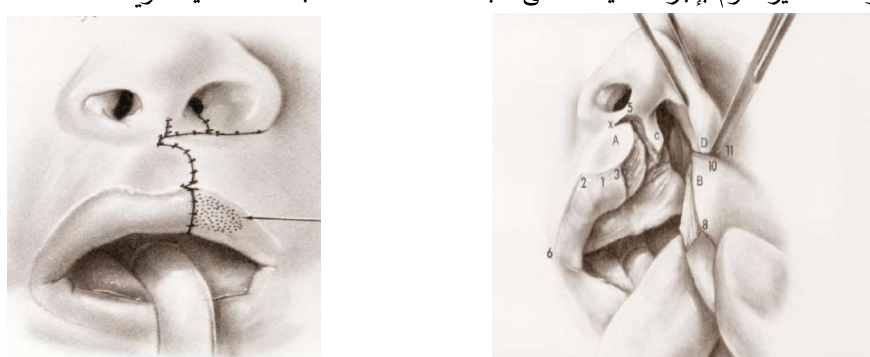
- بعد الإنتهاء من إجراء هذه الشقوق ، نبدأ بتسليخ العضلة الدويرة الفموية على طرفي الشق عن الجلد والمخاطية .

- في حال حدوث نزف من الشريان الشفوي أثناء تسليخ العضلة الدويرة الفموية يمكن استخدام جهاز التخثير الكهربائي لإيقاف النزف ، كما يمكن تقليل النزف عن طريق مسك الشفة العلوية من الجانبين مع تطبيق ضغط من قبل المساعد.

- بعد ذلك ، وقبل البدء بالخياطة ، لا بد من تحرير جناح الأنف على الجانب المشقوق عن طريق إجراء شق فوق السمحاق في دهليز الفم .

- في المرحلة الثالثة ، نقوم بتقديم وتدوير الشرائح لتأخذ مكانها الجديد بحيث يكون رأس الشريحة C في النقطة 10 ، و رأس الشريحة B في النقطة X ، وتلتقي النقطة 3 مع النقطة 8 .

- في المرحلة الأخيرة نقوم بإجراء الخياطة على طبقات ، عضلات ، جلد ، مخاطية فموية .



الشكل رقم (3): خطوط القطع الخاصة بـ تقنية ميلارد الشكل رقم (4): إغلاق الشرائح والخياطة في تقنية ميلارد

طريقة أسينسيو :

المبادئ الأساسية في إغلاق شق الشفة أحادي الجانب بهذه الطريقة مشابهة تماماً لطريقة ميلارد (التدويرية - التقديمية) . لكن التعديل الأولي الذي أجري من قبل أسينسيو هو استئصال قطعة من النسج الرخوة من الشريحة التقديمية لخلق طول إضافي مع المحافظة على نسج الشفة الحمراء . عُرفت طريقة أسينسيو بشكلٍ خاص بالقياسات الأولية والعلامات .

1- نقاط العلام التشريحية ضمن قاعدة الجناح ، قوس كيويد ، وتعلم قطعتي الشفة في كل جانب بشكلٍ مماثل لتقنية ميلارد.

تحدد نقاط العلام و النقاط المفتاحية على اللفافة البيضاء على الجانب الوحشي و تُقاس المسافة من نهاية اللفافة البيضاء على حافة الشريحة التقديمية حتى الصوار وتقارن مع الجانب غير المشقوق .

2- يُقاس ارتفاع جناح الأنف عن الشفة في الجانب غير المشقوق ويسُمى المسافة (a) ويسُمى ارتفاع الجناح ، و يُضاف 1-3 ملم للمسافة (a) معتمدين على حجم شفة المريض : (1 ملم للرضع - 2 ملم للأطفال - 3 ملم للبالغين) يُشار لهذا القياس الصغير المضاف ب المسافة (b) ويُستخدم لحساب طول القطع الرا�ع بشكلٍ تالي .

إضافة المسافة (a) إلى (b) يساوي طول الشق ويشير إليه بالمسافة (c) .

تُقاس المسافة (c) بشكلٍ مقوسٍ من قمة قوس كيويد حتى عميد الأنف وتعلم .

تضاف المسافة (b) في نهاية المسافة (c) من جهة العميم ، وهذا مشابه لطريقة ميلارد .

3- على عناصر الجانب الوحشي للشفة ، طول الخط (c) يُقسم إلى نصفين ويُستخدم لحساب ارتفاع الشق الجديد وهو الخط (d) .

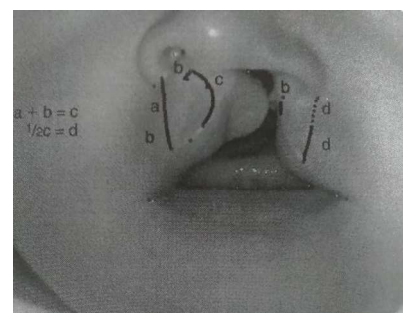
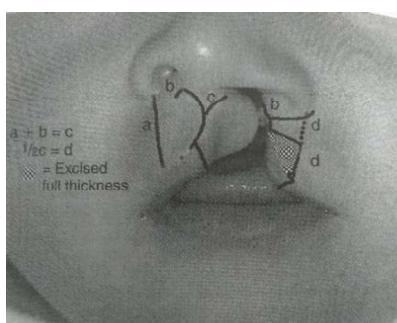
توضع نقطة على قاعدة جناح الأنف و يُرسم قوس نصف قطره هو المسافة (d) ثم توضع نقطة على نهاية اللفافة البيضاء و يُرسم قوس نصف قطره أيضاً المسافة (d) ، حيث يتقاطع هذان القوسان .

و هذا ما يؤسس لطول الجانب المشقوق بعد صنع الشق ، و يؤكد أن طول الشفة في الجانب المشقوق (الشريحة التقديمية) سيصل لطول الشريحة التدويرية .

بعد تعليم نقاط العلام هذه ، تُرسم الشريحة رباعية الأضلاع بحيث يكون عرض حافتها مساوياً لطول المسافة (b) .

تتابع حدود الحافة العلوية للشريحة رباعية الأضلاع لخارج جناح الأنف .

و تتابع حدود الحافة السفلية للشريحة رباعية الأضلاع لنقطة تقاطع الأقواس .



الشكل رقم (5): نقاط العلام الأساسية الخاصة بتقنية أسينسيو الشكل رقم (6): خطوط القطع الخاصة بتقنية أسينسيو

تحليل الصور الشمية (طريقة التحليل الأنثروبومترى) :

هي طريقة تحليل يتم فيها دراسة الارتباط النسبي بين القياسات الخطية التي تمثل مستويات أحمر الشفاه ومستويات ذروة الأنف وجناحيه ، أي إجراء تقييم خطى نسبي للشفة و الأنف . ويتم ذلك باستخدام برنامج خاص لمعالجة (Adob Illustrator CS4) لمعالجة الصور الفوتوغرافية .

فوائد هذه الطريقة :

1- التغلب على العامل الشخصي

2- تحقيق الدقة من خلال اعتماد محاور الاحداثيات و الأرقام في التحليل .

محوري الإحداثيات المعتمدين هما :

- محور X : يمثل محور السينات وهو الخط المار أفقياً من صواري الفم .

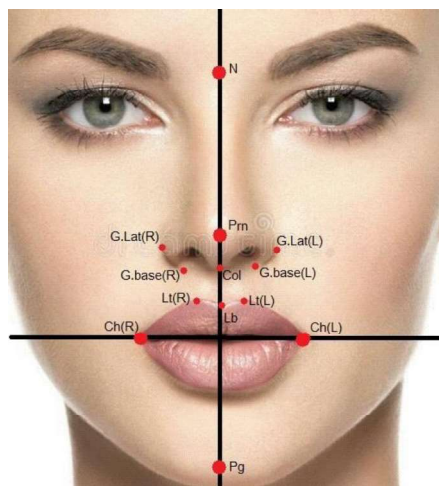
- محور Y : وهو الخط المار من منتصف المسافة بين العينين (النقطة N) وعموديا على المحور X .

نقاط العلام الوجهية المعتمدة أثناء الدراسة التحليلية الأنثروبومترية :

تم الاعتماد على النقاط الوجهية التي حددها Yamada و آخرون 2002 م ، وذلك لبساطتها وسهولة تحديدها [12 , 9 , 8]. يوضح الجدول التالي نقاط العلام مع اختصاراتها والتي تم اعتمادها في الدراسة كما يوضح الشكل هذه النقاط .

الجدول رقم (1): نقاط العلام الوجهية المعتمدة أثناء الدراسة التحليلية الأنثروبومترية

Landmark	نقطة العلام	الإختصار
Soft Pogonion	بوغونيون (على النسج الرخوة)	Pg
Soft Nasion	نازيون (على النسج الرخوة)	N
Columella base	قاعدة العميد	Col
Top of Cupid's bow	ذروة قوس كيوبيد	Lt
Bottom of Cupid's bow	قاع قوس كيوبيد	Lb
Cheilion	زاوية فتحة الفم	Ch
Pronasal	ذروة الأنف	Prn
Lateral point of the alar groove	النقطة الأكثر وحشية على ميزاب جناح الأنف	G.Lat
Inferior point of the alar groove	النقطة الأكثر انخفاضا على ميزاب جناح الأنف	G.base



الشكل رقم (7): نقاط العلام الوجهية في طريقة التحليل الأنثروبومترى

متغيرات البحث :

- التناظر الشفوي :

1- اختلاف ارتفاع الشفة الجلدية (Lip High Difference) LHD :

تم اعتماد المعادلة الرياضية الموصوفة من Wong و Mulliken [10] والتي عُدلَت من قبل Fudalej وزملائه عام 2012 في حساب LHD [11] . حيث تسمح هذه المعادلة بقياس التناظر كنسبة مئوية بين ارتفاع الشفة الجلدية في الجانبين المشقوق وغير المشقوق .

يُقاس ارتفاع الشفة الجلدية من قمة قوس كيوبيد عمودياً على الخط الواصل بين النقطتين الأكثر انخفاضاً على ميزاب جناح الأنف في الجانبين .

حساب النسبة المئوية من خلال المعادلة التالية :

$$LHD = \frac{\text{طول الجانب الأطول} - \text{طول الجانب الأقصر}}{\text{طول الجانب الأطول}} \times 100 = \%$$

$$LHD = LH1 - \frac{LH2}{LH1} \times 100 = \%$$

حيث LH1 هي ارتفاع الشفة الجلدية في الجانب الأطول ، بينما LH2 هي ارتفاع الشفة الجلدية في الجانب الأقصر .

تُعبّر هذه النسبة عن اختلاف ارتفاع الشفة الجلدية بين الجانب المشقوق والجانب غير المشقوق .

$$2- \text{النسبة } \frac{Lt'Y'}{LtY} = Lt'Y' : LtY$$

تُمثل هذه النسبة ارتفاع أحمر الشفاه عند قمة قوس كيوبيد في الجانب غير المشقوق (Y') ، إلى ارتفاع أحمر الشفاه عند قمة قوس كيوبيد في الجانب المشقوق (Y) . في الحالة المثالية تكون هذه النسبة متساويةً للواحد .

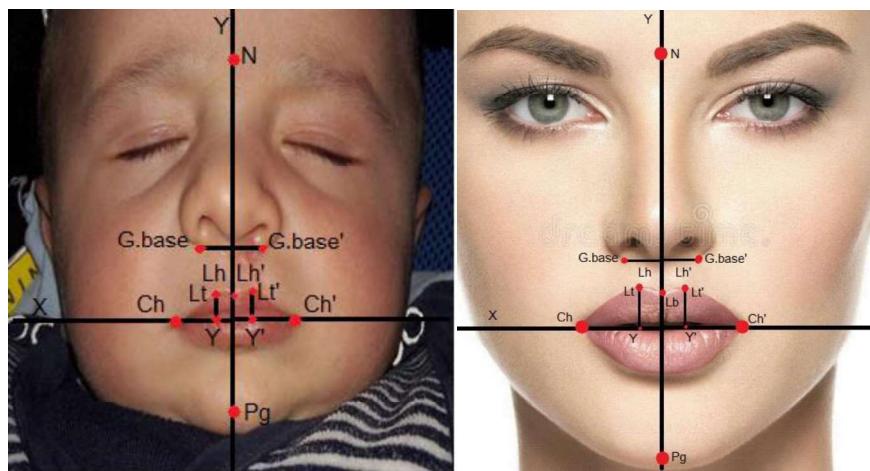
تُفيد هذه النسبة في دراسة تغيير ارتفاع قمة قوس كيوبيد أو أحمر الشفاه عند قمة قوس كيوبيد بين الجانبين .

$$3- \text{النسبة } \frac{Lt'Lb}{Lt'Lb'} = Lt'Lb : Lt'Lb'$$

تُمثل هذه النسبة بعد قمة قوس كيوبيد عن مركز الشفة العلوية في الجانب غير المشقوق (Lt'Lb) إلى بعد قمة قوس كيوبيد عن مركز الشفة العلوية في الجانب المشقوق (Lt'Lb') .

في الحالة المثالية تكون هذه النسبة متساويةً للواحد ، وبالتالي تُعبر هذه النسبة عن تغيير عرض قوس كيوبيد في الجانبين .

يُوضح الشكل التالي نقاط العلام أثناء الدراسة التحليلية الأنثروبومترية على الشفة و تطبيقها على حالة من عينة البحث .



الشكل رقم (8): نقاط العلام في الدراسة التحليلية الأنثروبومترية على الشفة

- التناظر الأنفي :

$$1 - \text{النسبة } \frac{G.Lat\ O}{G.Lat' O'} = G.Lat\ O : G.Lat' O'$$

تمثل هذه النسبة بعد جناح الأنف عن عمود الوجه في الجانب غير المشقوق ($G.Lat\ O$) إلى بعد جناح الأنف عن عمود الوجه في الجانب المشقوق ($G.Lat' O'$) .

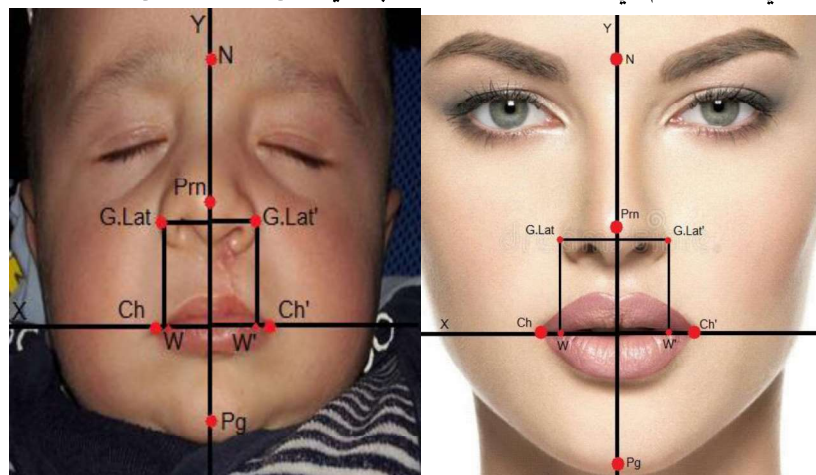
في الحالة المثلالية تكون هذه النسبة متساوية لواحد . وهي تُعبر عن تغير التناظر الأفقي لجناحي في الجانبين .

$$2 - \text{النسبة } \frac{G.Lat\ W}{G.Lat' W'} = G.Lat\ W : G.Lat' W'$$

تمثل هذه النسبة ارتفاع جناح الأنف عن أفق الشفة في الجانب غير المشقوق ($G.Lat\ W$) إلى ارتفاع جناح الأنف عن أفق الشفة في الجانب المشقوق ($G.Lat' W'$) .

في الحالة المثلالية تكون هذه النسبة متساوية لواحد ، وهي تُعبر عن تغير التناظر العمودي لجناحي الأنف في الجانبين .

يوضح الشكل التالي نقاط العلام في الدراسة التحليلية الأنثروبومترية على الأنف و على حالة من عينة البحث .



الشكل رقم (9): نقاط العلام في الدراسة التحليلية الأنثروبومترية على الأنف

عرض حالة :



الشكل رقم (10): حالة أُنجزت باستخدام تقنية ميلارد لطفل بعمر 4 أشهر :



الشكل رقم (11): حالة أُنجزت باستخدام تقنية أسينسيو لطفلة بعمر 4 أشهر :



الشكل رقم (12): بعض صور المتابعة بعد 6 أشهر من العمل الجراحي :

4-دراسة الإحصائية والنتائج :

تحليل النتائج الاحصائية :

طبقت تقنية ميلارد الجراحية على عينة مؤلفة من عشرة مرضى لديهم شق شفة أحادي الجانب ، كما طبقت تقنية أسينسيو الجراحية على عينة أخرى مؤلفة من عشرة مرضى أيضاً لديهم شق شفة أحادي الجانب .

وقد درست المتغيرات التالية بعد العمل الجراحي :

- التأظر الشفوي
- التأظر الأنفي

حيث أخذت القياسات على فترتين :

- بعد 15 يوماً من إجراء العمل الجراحي .
- بعد 6 أشهر من إجراء العمل الجراحي .

دراسة النتائج والمقارنة بعد 15 يوماً من العمل الجراحي:
 يُمثل الجدول التالي المتوسطات الحسابية والانحرافات المعيارية لقيم المتغيرات المدروسة بعد 15 يوماً من العمل الجراحي.
الجدول رقم (2): المتوسطات الحسابية والانحرافات المعيارية لقيم المتغيرات المدروسة بعد 15 يوماً من العمل الجراحي

الانحراف المعياري	المتوسط	العدد	التقنية	
1.02	78.97	10	تقنية ميلارد	LHD15Day
5.61	74.75	10	تقنية أسينسيو	
0.05	1.03	10	تقنية ميلارد	LTY15Day
0.13	1.04	10	تقنية أسينسيو	
0.08	0.81	10	تقنية ميلارد	LTB15Day
0.18	0.92	10	تقنية أسينسيو	
0.12	1.03	10	تقنية ميلارد	G.LATO15DAY
0.12	1.02	10	تقنية أسينسيو	
0.05	1.01	10	تقنية ميلارد	G.LATW15DAY
0.06	1.01	10	تقنية أسينسيو	

من أجل دراسة الفروق بين المتوسطات للمتغيرات المدروسة وبما أن حجم العينة صغير أُستخدم الإحصاء اللامعمي وهو الإحصاء المستخدم في حال كون العينات صغيرة جداً. وفي هذه الحالة سوف يُستخدم اختبار مان وتنى – Mann-

Whitney Test

الجدول رقم (3): نتيجة اختبار مان وتنى

G.LATW15DAY	G.LATO15DAY	LTLB15Day	LTY15Day	
45.500	44.000	32.000	50.000	Mann-Whitney U
0.342	0.455	1.384	0.000	Z
.739 ^b	.684 ^b	.190 ^b	1.000 ^b	Sig.

يبين الجدول السابق أن مستوى الدلالة الإحصائية لكافة المتغيرات المدروسة أكبر من /0.05/ مستوى الدلالة المطلوب. ومنه نستنتج أنه لا توجد فروق بين المتوسطات المحسوبة للحالات بطريقة أسينسيو والمتوسطات المحسوبة بطريقة ميلارد لكافة المتغيرات المدروسة.

دراسة النتائج والمقارنة بعد 6 أشهر:

يُمثل الجدول التالي المتوسطات الحسابية والانحرافات المعيارية لقيم المتغيرات المدروسة بعد 6 أشهر.

الجدول رقم (4): المتوسطات الحسابية والانحرافات المعيارية لقيم المتغيرات المدروسة بعد 6 أشهر.

الانحراف المعياري	المتوسط	العدد	التقنية	
3.74	76.36	10	تقنية ميلارد	LHD6Month
0.78	78.34	10	تقنية أسينسيو	
0.13	1.05	10	تقنية ميلارد	LTY6Month
0.14	1.05	10	تقنية أسينسيو	
0.16	0.96	10	تقنية ميلارد	LTLB6Month
0.16	0.89	10	تقنية أسينسيو	
0.05	0.91	10	تقنية ميلارد	G.LATO6Month
0.09	0.93	10	تقنية أسينسيو	
0.10	0.97	10	تقنية ميلارد	G.LATW6Month
0.01	0.96	10	تقنية أسينسيو	

من أجل دراسة الفروق بين المتوسطات للمتغيرات المدروسة وبما أن حجم العينة صغير جداً أستخدم الإحصاء اللامعملي وهو الإحصاء المستخدم في حال كون العينات صغيرة جداً . وفي هذه الحالة سوف يستخدم اختبار مان وتنبي Mann-

Whitney Test

الجدول رقم (5): نتيجة اختبار مان وتنبي

G.LATW6Month	G.LATO6Month	LTLB6Month	LTY6Month	LHD6Month	
38.000	50.000	35.000	48.000	40.500	Mann-Whitney U
0.917	0.000	1.145	0.161	0.737	Z
0.0393	0.049	0.028	0.912	0.0481	Sig.

يُبين الجدول السابق أن مستوى الدلالة الإحصائية لكافة المتغيرات المدروسة جميعها أصغر من /0.05/ مستوى الدلالة المطلوب ماعدا متغير LTY6Month . ومنه يُستنتج أنه توجد فروقٌ بين المتوسطات المحسوبة بطريقة أسينسيو والمتوسطات المحسوبة بطريقة ميلارد في المتغيرات لصالح طريقة أسينسيو .

5-المناقشة :

تألفت عينة البحث من 20 مريضاً مصابين بشق شفة أحادي الجانب ، تراوحت أعمارهم بين 3-6 أشهر ، وقد قُسموا إلى مجموعتين تألفت كل مجموعة من عشرة حالات ، أجري لدى المجموعة الأولى إغلاق شق الشفة أحادي الجانب باستخدام تقنية ميلارد ، بينما عُولج مرضى المجموعة الثانية باستخدام تقنية أسينسيو ، و قورن من خلالهما التأثير الشفوي و الأنفي.

مناقشة التأثير الشفوي : (ملاحظة : لا توجد دراسات سابقة تقارن بين الطريقتين لذلك لم تحتوي المناقشة على نقاط اختلاف واتفاق)

• اختلاف ارتفاع الشفة الجلدية (LHD) :

تبين بالدراسة الإحصائية أن مستوى الدلالة الإحصائية لهذا المتغير بعد 15 يوماً كان أكبر من 0,05 وبالتالي لا توجد فروق ذات دلالة إحصائية بين تقنية ميلارد وتقنية أسينسيو عند المقارنة بعد 15 يوماً .

وهذا يعني أنه لا يوجد اختلاف في تأثير الشفة الجلدية بين الجانب السليم والجانب المصاب سواء باستخدام تقنية ميلارد أو تقنية أسينسيو بعد 15 يوماً .

بينما ... كان مستوى الدلالة الإحصائية لهذا المتغير بعد 6 أشهر أصغر من 0.05 و وبالتالي توجد فروق ذات دلالة إحصائية بين الطريقتين .

وهذا يعني أن تأثير الشفة الجلدية بين الجانب السليم والجانب المصاب تحقق بشكل أفضل عند استخدام تقنية أسينسيو وذلك بالمقارنة بين الطريقتين بعد 6 أشهر .

• ارتفاع قمي قوس كيوبيد (Lty) :

تبين بالدراسة الإحصائية أن مستوى الدلالة الإحصائية لهذا المتغير بعد 15 يوماً كان أكبر من 0,05 وبالتالي لا توجد فروق ذات دلالة إحصائية بين تقنية ميلارد وتقنية أسينسيو عند المقارنة بعد 15 يوماً .

وهذا يعني أنه لا يوجد اختلاف في تأثير ارتفاع الشفة الحمراء عند قمة قوس كيوبيد بين الجانب السليم والجانب المصاب سواء باستخدام تقنية ميلارد أو باستخدام تقنية أسينسيو بعد 15 يوماً .

لم تختلف النتائج عند مقارنة هذا المتغير بعد 6 أشهر حيث كان مستوى الدلالة الإحصائية أكبر من 0,05 وهذا يعني أنه لا يوجد اختلاف في تأثير ارتفاع الشفة الحمراء عند قمة قوس كيوبيد بين الجانب السليم والجانب المصاب سواء باستخدام تقنية ميلارد أو باستخدام تقنية أسينسيو بعد 6 أشهر .

• عرض قوس كيوبيد (LtLb) :

تبين بالدراسة الإحصائية أن مستوى الدلالة الإحصائية لهذا المتغير بعد 15 يوماً كان أكبر من 0,05 وبالتالي لا توجد فروق ذات دلالة إحصائية بين تقنية ميلارد وتقنية أسينسيو عند المقارنة بعد 15 يوماً .

وهذا يعني أنه لا يوجد اختلاف في تناظر عرض قوس كيوبيد بين الجانب السليم والجانب المصاب سواء بإستخدام تقنية ميلارد أو بإستخدام تقنية أسينسيو بعد 15 يوماً .

في حين ... كان مستوى الدلالة الإحصائية لهذا المتغير بعد 6 أشهر أصغر من 0.05 و وبالتالي توجد فروق ذات دلالة إحصائية بين الطريقتين .

وهذا يعني أن تناظر عرض قوس كيوبيد بين الجانب السليم والجانب المصاب تحقق بشكل أفضل عند استخدام تقنية أسينسيو وذلك بالمقارنة بين الطريقتين بعد 6 أشهر .

مناقشة التناظر الأنفي :

• التناظر الأفقي لجناحي الأنف (G.Lat O) :

تبين بالدراسة الإحصائية أن مستوى الدلالة الإحصائية لهذا المتغير بعد 15 يوماً كان أكبر من 0,05 وبالتالي لا توجد فروق ذات دلالة إحصائية بين تقنية ميلارد وتقنية أسينسيو عند المقارنة بعد 15 يوماً .

وهذا يعني أنه لا يوجد اختلاف في التناظر الأفقي لجناحي الأنف بين الجانب السليم والجانب المصاب سواء بإستخدام تقنية ميلارد أو تقنية أسينسيو بعد 15 يوماً .

في حين ... كان مستوى الدلالة الإحصائية لهذا المتغير بعد 6 أشهر أصغر من 0.05 و وبالتالي توجد فروق ذات دلالة إحصائية بين الطريقتين .

وهذا يعني أن التناظر الأفقي لجناحي الأنف بين الجانب السليم والجانب المصاب تتحقق بشكل أفضل عند استخدام تقنية أسينسيو وذلك بالمقارنة بين الطريقتين بعد 6 أشهر .

• التناظر العمودي لجناحي الأنف (G. Lat W) :

تبين بالدراسة الإحصائية أن مستوى الدلالة الإحصائية لهذا المتغير بعد 15 يوماً كان أكبر من 0,05 وبالتالي لا توجد فروق ذات دلالة إحصائية بين تقنية ميلارد وتقنية أسينسيو عند المقارنة بعد 15 يوماً .

وهذا يعني أنه لا يوجد اختلاف في التناظر العمودي لجناحي الأنف بين الجانب السليم والجانب المصاب سواء بإستخدام تقنية ميلارد أو تقنية أسينسيو بعد 15 يوماً .

في حين ... كان مستوى الدلالة الإحصائية لهذا المتغير بعد 6 أشهر أصغر من 0.05 و وبالتالي توجد فروق ذات دلالة إحصائية بين الطريقتين .

وهذا يعني أن التناظر العمودي لجناحي الأنف بين الجانب السليم والجانب المصاب تتحقق بشكل أفضل عند استخدام تقنية أسينسيو وذلك بالمقارنة بين الطريقتين بعد 6 أشهر .

6-الاستنتاجات و التوصيات :

• نستنتج من خلال ما سبق حدوث تحسن في التناظر الشفوي والأفقي عند استخدام تقنية أسينسيو بدلاً من تقنية ميلارد

في إغلاق شقوق الشفة أحادية الجانب الكامل وغير الكامل كتعديل قائم على تقنية ميلارد ، ولذلك يُنصح باللجوء إلى هذه الطريقة عند إغلاق هذه الشقوق بالأعمار بين 3-6 أشهر .

- نوصي باستخدام تقنية أسينسيو في الإصلاح الأولي لشق الشفة أحدى الجانب (الكامل وغير الكامل) كتعديل قائم على تقنية ميلارد .

-المراجع :

- 1- **Noordhoff, M.S ;Chen P,K.** Unilateral cheiloplast. In: Mathes SJ edit. Plastic Surgery .2nd ed. Phil- Adelphia: Saunders Elsevier, 2006 , p. 165–215.
- 2- **Naumann, H. H.;Helms, J.;Herberhold, C.; Jahrsdoerfer, R. A.; Kastenbauer , E. R.;Panje, W. R.; Tardy, M. E.; Jr .** Head and neck surgery . Volume 1, Part 1,2nd Edition, thieme Medical Puplishers, Inc., New York, 1995.
- 3- **Peterson, L. J.; Ellis, E.; Hupp, J. R.; Tucker, M. R.** Contemporary Oral and Maxillofacial surgery. 2nd Edition, Mosby, St . Louis, 1993.
- 4- **Millard, D. R.** Cleft Carft: The Evolution of Its Surgery. Boston: Little, Brown, 1976, p. 245– p. 250.
- 5- **Millard, D. R. Jr.** A radical rotation in single harelip. American Journal of Surgery . 1958.95 : 318–322 .
- 6- **Pool, R.** The configurations of the unilateral cleft lip , with reference to the rotation advancement repair . Plast. Reconstr.surg, 1966, 37 : 558.
- 7- Honigmann, K. Experiences with the Reichert procedure in closure of unilateral cleft lips > Plast. Reconstr. Surg. 1980.65 : 164.
- 8- **Yamada, T. Mori, Y. Minami, K. Mishima, K. Tsukamoto, Y.** Surgical result of primary lip repair using the triangular flap method for treatment of complete unilateral cleft lip and palate: a three-dimensional study in infants to four-year-old children. Cleft Palate Craniofac J, 2002, 39:497–502.
- 9- **Yamada, T,: Mori, Y,: Minami, K,: Sugahara, T.** Nasolabial and alveolar morphology following presurgical orthopaedic treatment in complete unilateral clefts of lip. Alveolus and palate . J Craniomaxillofac surg,2003, 31:343–347.
- 10- **Wong, G. B. Burvin, R. Mulliken, J. B.** Resorbable internal splint: an adjunct to primary correction of unilateral cleft lip–nasal deformity. Plastic and Reconstructive Surgery, 2002, vol. 110, no. 2. pp. 385–391.
- 11- **Fudalej, P . Katsaros,C. Hozyasz, K. W. Borstlap, A. Kuijpers–Jagtman, A.M.** Nasolabial symmetry and aesthetics in children with complete unilateral cleft lip and palate . British Journal of Oral and Maxillofacial Surgery, 2012 , vol. 50, no. 7 , pp. 621–625.
- 12- **Lee, T. J.** Upper lip measurements at the time of surgery and follow-up after modified rotation–advancement flap repair in unilateral cleft lip patients. Plastic and Reconstructive Surgery Journal. Sep. 1999. 104(4):911–915.

- 13- **Loon, B. V. Reddy, S. G. Heerbeek, N.** 3D stereophotogrammetric analysis of lip and nasal symmetry after primary cheiloseptoplasty in complete unilateral cleft lip repair . Rhinology . vol. 2011. 49, no. 5, pp.546–553.
- 14- **Raposo, A. C. E. Giancolli, A. P. Denadai, R. Marques, F. F. Somensi, R. S. Alonso, N.** Lip Height Improvement during the First Year of Unilateral Complete Cleft Lip Repair Using Cutting Extended Mohler Technique. Plastic Surg. Vol, 2012, 206–481.
- 15- **Makhan , L .S.** Bedside clinics in surgery . Second edition, 2013, chapter 13 , p: 498–450.